

## TEM study of (2223) BSCCO superconducting material

Rajabi, M.

College of Technology and Engineering,  
International Imam Khomeini University, Ghazvin, IRAN

**Key Words :** *Superconducting material, electron diffraction, Sintering atmosphere, homogeneity of composition*

**Abstract:** The EDTA gel processing route has been used to produce (2223) BSCCO superconducting oxides. Gel - processed (2223) BSCCO material was sintered in air or oxygen to produce specimens for transition temperature determination; the same specimens were characterised by high resolution transmission electron microscopy fitted with EDAX analysis to yield information about homogeneity, microstructure and identification of any grain boundary phases that may be present. Electrical resistivity measurements have been made upon the sintered materials to allow the superconducting transition temperature to be determined as a function of sintering atmosphere. Transition to a superconducting state at 110k was observed in samples sintered and quenched in air.

## پژوهشی

### مطالعه مواد ابرسانای نوع BSCCO (2223) با استفاده از TEM

مسعود رجبی

گروه مواد و متالورژی، دانشکده فنی و مهندسی، دانشگاه بین‌المللی امام خمینی (ره)، قزوین

چکیده: در این کار پژوهشی روش Sol - Gel (با استفاده از EDTA) برای تولید اکسیدهای ابرسانای نوع (2223) BSCCO استفاده شده است. مواد نوع BSCCO (2223) سنتز شده به روش Sol - Gel به منظور اندازه‌گیری  $T_c$  (دماهی گذار به ابرسانایی)، در هوا یا اکسیژن تف جوشی شدند. سپس نمونه‌های تف جوشی شده به وسیله TEM مجهر به EDAX با هدف کسب اطلاعاتی در مورد یکنواختی ترکیب فاز ابرسانای ایجاده شده، ریز ساختار، و شناسایی فازهای موجود احتمالی در مرز دانه‌ها، مورد بررسی قرار گرفتند. مقاومت الکتریکی مواد تف جوشی شده، به منظور تعیین  $T_c$  به عنوان تابعی از فشار تف جوشی، اندازه‌گیری شد. دماهی گذار به ابرسانایی در ۱۱۰K در نمونه‌های تف جوشی و به سرعت سرد شده در هوا، مشاهده شد.

واژه‌های کلیدی: مواد ابرسانا، پراش الکترونی، محیط تف جوشی، یکنواختی ترکیب

#### مقدمه

از زمان کشف گروه جدید  $\text{Bi}_x\text{Sr}_y\text{Ca}_z\text{Cu}_w\text{O}_n$  (BSCCO) از مواد با  $T_c$  بالا (۸۰K) الی (۱۱۰K)، فعالیت گستردگی برای تعیین ساختار و تهیه فازهای مختلف ابرسانا از گروه یادشده شروع شد، [۱ - ۳]. یکی از مشکلات مهم کاربرد مواد ابرسانای جدید YBCO و BSCCO، ظرفیت‌های کم جریان بحرانی ( $J_c$ ) در نمونه‌های تف جوشی شده سرامیکی است. در مورد نوع YBCO وجود لایه‌های غیر ابرسانا در مرز دانه‌ها و نایکنواختی شیمیایی از جمله عواملی هستند که باعث سد جریان می‌شوند [۴ و ۵]. هدف این مقاله تحقیق درباره یکنواختی شیمیایی، شناسایی فازهای موجود در مرز دانه‌ها، و ساختار مواد ابرسانای نوع BSCCO (2223) است.

## روش تحقیق

### تولید پودرهای اکسیدی

مقادیر لازم از نیترات‌های Bi، Ca، Sr و EDTA (اتیلن دی آمین ترا استیک اسید به عنوان عامل ژل‌ساز) مطابق استکیومتری ترکیب BSCCO (2223) محاسبه و توزین شدند. سپس محلول محلول نیترات‌های فلزی و EDTA به درون دستگاه تبخیرکن چرخان (Rotary thin film evaporator) منتقل شدند. با تبخیر آب در این دستگاه، گرانروی محلول افزایش می‌یابد، بطوریکه در پایان کار دستگاه، ژله آبی رنگی بدست آمد. ژل حاصل در حدود ده ساعت در دمای  $75^{\circ}\text{C}$  در گرمخانه خلاء نگهداری شد، تا ژل خشک که به صورت ماده شیشه‌ای است، بدست آمد. در مرحله بعد، ژل خشک در یک فرآیند تجزیه دو مرحله‌ای به پودر اکسیدی تبدیل گردید. تجربیات قبلی در تولید پودرهای اکسیدی YBCO و BSCCO به روش Sol-Gel بیانگر این مسئله بود که تجزیه گرمایی ژل خشک بسیار گرمایی است، و ممکن است در اثر گرمایش بیش از حد، یکنواختی ترکیب تغییر نماید [۵-۷]. بنابراین مرحله اول تجزیه گرمایی در دمای  $300^{\circ}\text{C}$  و مرحله دوم در  $750^{\circ}\text{C}$  در فشار جو انجام گرفت.

### تف جوشی نمونه‌ها

پودرهای اکسیدی حاصل در مرحله دوم تجزیه گرمایی، در قالب فولادی (D = 3 mm، L = 13 mm) با استفاده از دستگاه پرس آزمایشگاهی یک طرفه و در فشار ۳۷ MPa به صورت نمونه‌های استوانه‌ای شکل متراکم شدند. سپس نمونه‌ها در کوره الکتریکی لوله‌ای شکل ساده با سرعت گرمایش  $3^{\circ}\text{C}/\text{min}$  در فشار جو یا اکسیژن (آهنگ گاز اکسیژن  $\text{Cm}^3/\text{min}$  ۲۰۰ بود) در دمای  $860^{\circ}\text{C}$  تف جوشی شدند. زمان تف جوشی یکساعت بود که پس از آن نمونه‌ها در فشار تف جوشی به سرعت سرد شدند.

### تعیین دمای گذار به ابررسانایی

پیش از بررسی نمونه‌های تف جوشی شده با TEM، به خاطر حصول اطمینان اینکه در دمای معین حالت ابرسانندگی در آنها بوجود خواهد آمد، مواد در زمپا تعیین شد.

در این دستگاه نخست نمونه به وسیله He مایع سرد می‌شود و سپس به منظور ایجاد موازنۀ بین نمونه، گرما دهنده، و دماسنجه به آهستگی (با آهنگ کمتر از ۱K/min) گرم می‌شود. اندازه‌گیری دما با استفاده از یک مقاومت C - glass درجه‌بندی شده (Calibrated) انجام گرفت.

### آمایش نمونه برای برسی در TEM

نمونه‌ها برای مطالعه در TEM از دو طریق سایش مکانیکی و یا سونش یونی (ion milling) به وسیله Ar آماده شدند. در روش نخست ابتدا نمونه تف‌جوشی شده، در هاون عقیق به ذرات میکرونی تبدیل شد. سپس ذرات در هگزین به صورت تعليق (Suspension) درآمدند. به وسیله ذرات قطره چکان به فیلم کربنی متخلخل (که بر روی شبکه مسی پوشش داده شده با طلا قرار دارد) منتقل شدند. سرانجام چند دقیقه پس از خشکایش ذرات، شبکه در TEM قرار گرفت.

در روش دوم، از نمونه‌های استوانه‌ای شکل، برش‌هایی با ضخامت در حدود ۱mm و با استفاده از دستگاه برش، تهیه شد. در این مرحله با کاغذ سنباده ۱۲۰۰ نمونه‌ها بین ۸۰ تا ۱۰۰ میکرومتر نازک شدند. برای ایجاد بیشینه سطح نازک از دستگاه سونش یونی "Ion Tech" با ولتاژ ۵KV و زاویه بمباران یونی ۱۵° استفاده گردید. پس از ایجاد حفره (لبه‌های شیب‌دار این حفره برای TEM ضخامت مناسبی دارند) در سطح نمونه، آن را از دستگاه خارج و به محفظه خاص نمونه در بدنه میکروسکوپ هدایت شد. آنالیز و مشاهده نمونه‌های ابررسانا به وسیله "Philips TEM 430T" که با EDAX, 9900 مجهر بود انجام گرفت. به منظور نیل به حساسیت مناسب برای آنالیز نواحی مرزدانه‌ای، کمینه قطر باریکه الکترونی (5nm) و زمانهای طولانی آنالیز مورد استفاده قرار گرفتند. کلیه نقشهای پراش الکترونی در ولتاژ عملیاتی ۳۰۰KV برداشته شدند.

نواحی با ضخامت مناسب برای TEM با تغییر مکان نمونه، و تابش باریکه الکترونی بر لبه حفره ایجاد شده در نمونه، انتخاب شدند. برای مشاهده و ثبت هر نقش پراش الکترونی از نقش نوارها و خطوط کیکوچی (Kikuchi lines) کمک گرفته شد پس از عکس‌برداری از کلیه نقشهای پراش، فواصل سه نقطه پراشیده (در اطراف مرکز

تصویر هر پراش) در سه راستای مختلف ( $R_1$ ،  $R_2$  و  $R_3$ ) و نیز زوایای  $R_1$  و  $R_2$  در اندازه‌گیری شدند. این اطلاعات و اطلاعات حاصل از پراش سنجی پرتو X در تحقیقات قبلی [۷] به برنامه کامپیوتری منتقل شدند. این برنامه نشان داد که باریکه الکترونی در کدام راستای بلوری به بلور تاییده است.

### نتایج به دست آمده

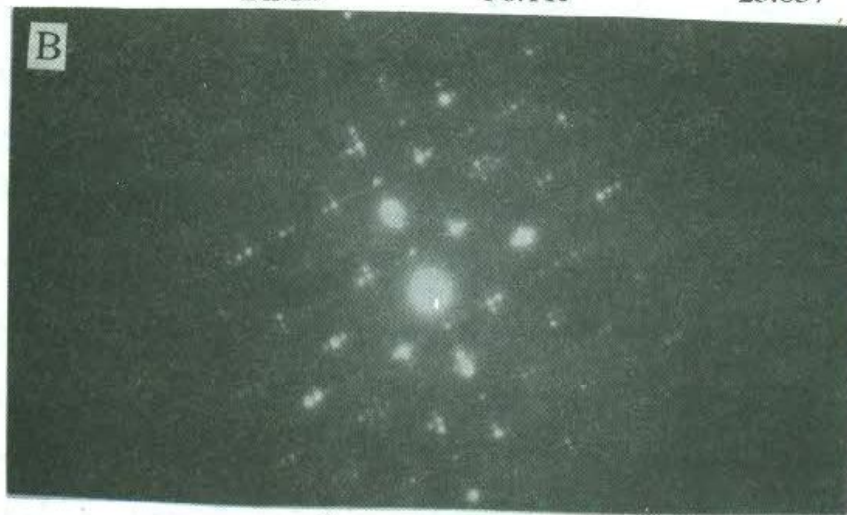
نقشهای پراش TEM از لایه نازک فاز BSCCO (2223) در راستای [۱۱۰] (شکل ۱) و [۱۰۰] (شکل ۲) وجود یک ابرشبکه در این سیستم را نشان می‌دهد. نقش پراش الکترونی نواحی منتخب نشان داده شده در شکلهای ۱ و ۲، ردیف پیچیده‌ای از بازتابهای ابرشبکه‌ای، متفاوت از آنهایی که در فاز BSCCO (2212) مشاهده شده بودند [۸]، را نشان می‌دهند. نتایج مشابه‌ای توسط Tan و همکارانش [۹]، و Lin و همکارانش [۱۰] گزارش شده‌اند. از شکل ۱ پیداست که فاز ابررسانای BSCCO (2223) دارای ساختار لانه زنبوری طویل در راستای [۱۱۰] است. در شکل ۱B، دو نوع بازتاب قابل مشاهده‌اند. یک نوع بازتابهای اصلی مربوط به شبکه تصویر در شکل A، و نوع دیگر، مربوط به بازتابهای ابرشبکه است (نقاط ماه مانند). آنالیز با EDAX نواحی مرز دانه‌ای (A، B در شکل ۳) نشان می‌دهد که لایه ناابررسانای غنی از مس، در این نواحی وجود دارد (اطلاعات EDAX زیر شکل ۳ آمده‌اند). Tan و همکارانش نیز وجود لایه‌ای نازک از CuO در نواحی مرز دانه‌ای در مواد ابررسانای BSCCO (2223) گزارش کرده‌اند [۹].

بنابراین یکی از علل مقدار جریان بحرانی کم در این سیستم (2223 BSCCO) به فازهای ناابررسانا در نواحی مرز دانه‌ها مربوط می‌شود. آنالیز EDAX در نقاط مختلف از فاز ابررسانای BSCCO (2223) انجام شده است. نتایج حاصل نشان می‌دهد که نسبت شیمیایی  $3:1.9:2.2:2.1$  (Bi : Sr : Ca : Cu) برقرار است. افزون بر این، چنان که در جدول ۱ دیده می‌شود، ترکیب در مجموعه فاز BSCCO (2223) از یکنواختی شیمیایی برخوردار است. شکل ۴، تصویر TEM و نقش پراش الکترونی یک نمونه BSCCO (2223) را که در محیط اکسیژن خالص تف جوشی و به سرعت سرد شده است نشان می‌دهد. تف جوشی در محیط اکسیژن بجای هوا، تغییرات شدید در  $T_c$

ایجاد می‌کند، به طوری که در شکل ۵ آغاز از  $T_c$  از  $11^{\circ}\text{K}$  به حدود  $7^{\circ}\text{K}$ ، کاهش یافته است. گروههای تحقیقاتی بسیاری [۱۱-۱۳] نیز وابستگی تشکیل فاز 2223 به

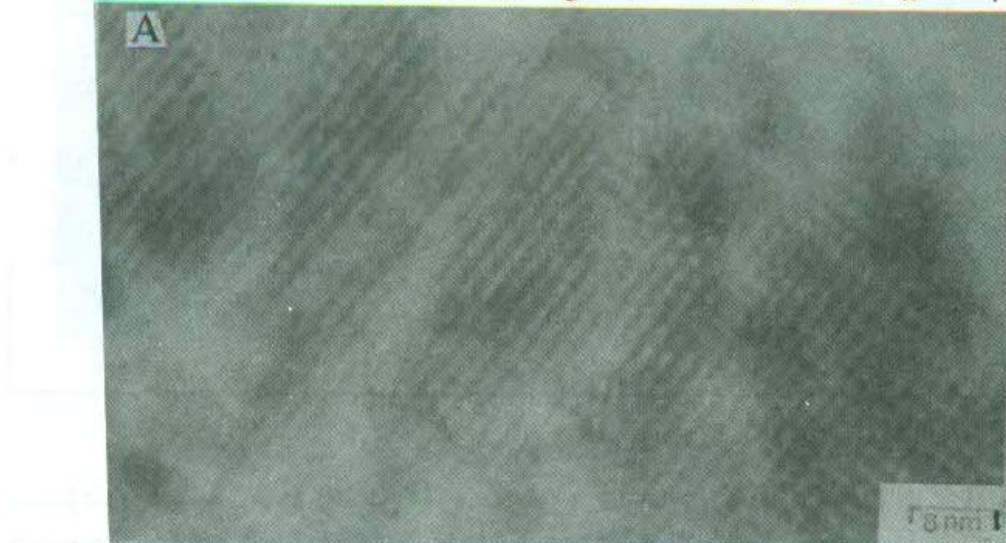


| ELEM (عنصر)  | EDAX data (شدت INT) | AT% (عنصر ELEM) |
|--------------|---------------------|-----------------|
| SrL $\alpha$ | 30.666              | 22.665          |
| CaK $\alpha$ | 43.704              | 21.454          |
| CuK $\alpha$ | 74.459              | 32.043          |
| BiM $\alpha$ | 38.115              | 23.837          |

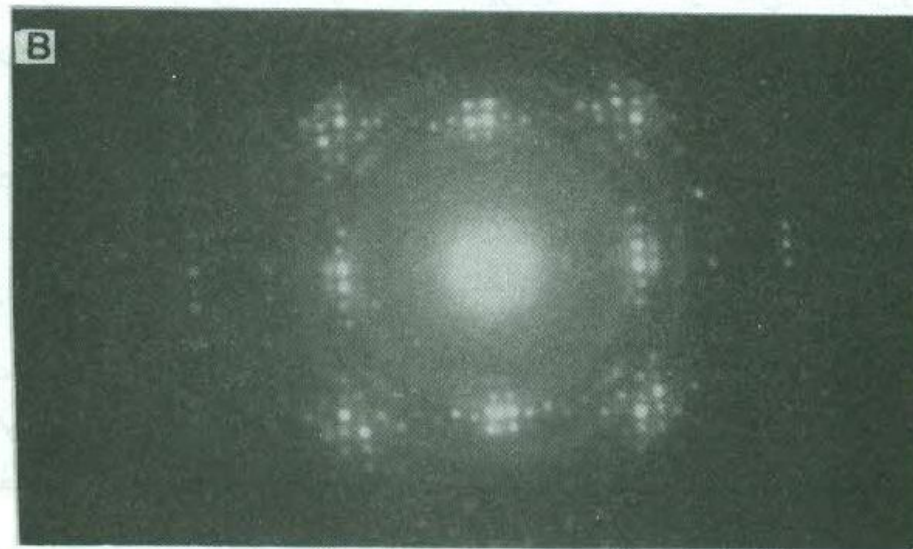


شکل ۱ - A : نمونه ابررسانای BSCCO (2223) ( $D \sim 4.1\text{g/cm}^3$ ) و B - نقش پراش الکترونی آن در راستای [110]. خطوط موازی در شکل A مربوط به خطوط ابرشبکه هستند، و شبکه لانه زنبوری ریزساختار مواد ابررسانای BSCCO (2223) را در راستای [110] نشان می‌دهد. نقش پراش الکترونی ابرشبکه به صورت نقاط مانند در شکل B نمایان است.

فشار جزئی  $O_2$  را گزارش کرده‌اند. به نظر می‌رسد تفاوت در  $T_c$  مربوط به تغییرات ساختاری (که در شکل ۲ و ۴ دیده می‌شود) و استوکیومتری ترکیب BSCCO است. مثلاً ابر شبکه دوبعدی در فاز 2223 (شکل ۲B)، در اثر تفجوش نمونه در محیط



| ELEM (عنصر)  | EDAX data (شدت) INT | AT% ELEM (عنصر) |
|--------------|---------------------|-----------------|
| SrL $\alpha$ | 20.846              | 24.052          |
| CaK $\alpha$ | 27.165              | 20.753          |
| CuK $\alpha$ | 52.831              | 35.453          |
| BiM $\alpha$ | 20.237              | 19.742          |



شکل ۲: A - نمونه ابررسانای BSCCO (2223) با  $D \sim 4.1 g/cm^3$  و B - نقش پراش الکترونی آن در راستای [100]

جدول ۱ - نتایج آنالیز بهوسیله EDAX که برای ۵ ناحیه متفاوت از مواد ابررسانای BSCCO (2223) بدست آمدند. ریزساختار نقاط آنالیز شده، مشابه نواحی نشان داده شده در شکل ۱A و ۲A بوده‌اند.

| ELEM (AT%) |              |              |              |              |
|------------|--------------|--------------|--------------|--------------|
| No         | SrL $\alpha$ | CaK $\alpha$ | CuK $\alpha$ | BiM $\alpha$ |
| 1          | 22.665       | 21.454       | 32.043       | 23.837       |
| 2          | 24.067       | 20.325       | 32.323       | 23.285       |
| 3          | 23.208       | 20.965       | 32.491       | 23.336       |
| 4          | 24.052       | 20.753       | 35.453       | 19.742       |
| 5          | 24.227       | 20.592       | 32.010       | 23.171       |

اکسیژن، ناپدید می‌شود (شکل ۴B). به علاوه آنالیزهای EDAX هیچ اثری از وجود فاز BSCCO (2223) در تعداد زیادی از دانه‌های آنالیز شده در نمونه تف جوشی شده در محیط اکسیژن، را نشان نمی‌دهند. از طرف دیگر با اینکه آنالیز با EDAX نواحی با ترکیب نزدیک به (2212) BSCCO (شکل ۴A) را در نمونه‌های BSCCO (2223) تف جوشی شده در اکسیژن نشان می‌دهد، آغاز ابررسانایی ( $70\text{ K}$ ) هنوز کمتر از مقدار مربوط به فاز (2212) BSCCO ( $92\text{ K}$ ) است. آیا این موضوع به نواقص موجود در ساختار نمونه تف جوشی شده در محیط اکسیژن (ناحیه D در شکل ۴A) مربوط است یا نه، در حال حاضر روشن نیست.

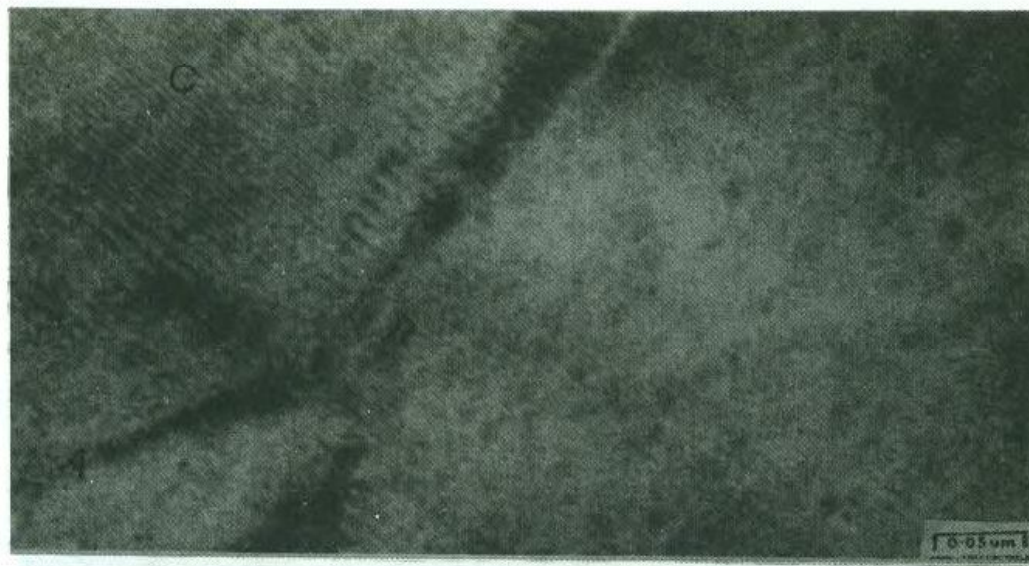
### نتیجه‌گیری

از بررسی و مطالعه نمونه‌های ابررسانای BSCCO (2223) توسط TEM نتایج زیر به دست آمدند:

۱ - یکی از علل مقدار  $J_{\text{c}}$  کم، در مواد ابررسانای BSCCO (2223) به فازهای ناابرسانا در نواحی مرز دانه‌ها مربوط است.

۲ - استفاده از روش Sol - Gel، مواد ابررسانا با ترکیب شیمیایی یکنواخت ارائه می‌دهد.

۳ - تف جوشی مواد BSCCO (2223) در فشار جزئی مناسب اکسیژن منجر به تشکیل فاز ابررسانا با  $T_c \sim 110\text{ K}$  می‌شود.



|   |              | EDAX data | AT%         |
|---|--------------|-----------|-------------|
|   | (عنصر) ELEM  | INT (شدت) | (عنصر) ELEM |
|   | SrL $\alpha$ | 28.660    | 20.581      |
| A | CaK $\alpha$ | 45.850    | 20.930      |
|   | CuK $\alpha$ | 126.970   | 48.782      |
|   | BiM $\alpha$ | 18.370    | 9.706       |

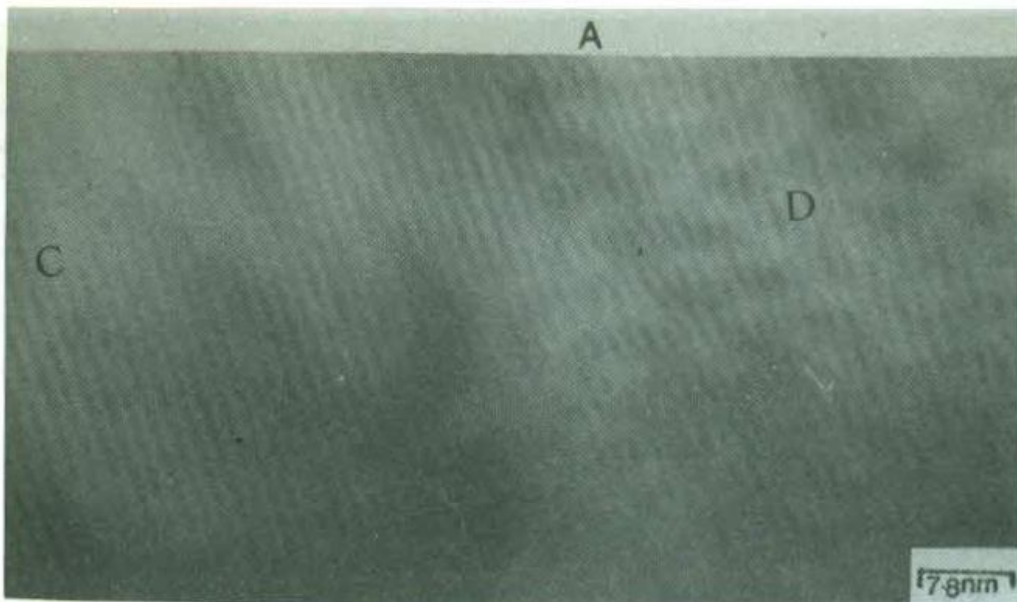
  

|   |              | AT%       |             |
|---|--------------|-----------|-------------|
|   | (عنصر) ELEM  | INT (شدت) | (عنصر) ELEM |
|   | SrL $\alpha$ | 57.396    | 21.280      |
| B | CaK $\alpha$ | 86.968    | 20.436      |
|   | CuK $\alpha$ | 256.622   | 50.852      |
|   | BiM $\alpha$ | 27.269    | 7.433       |

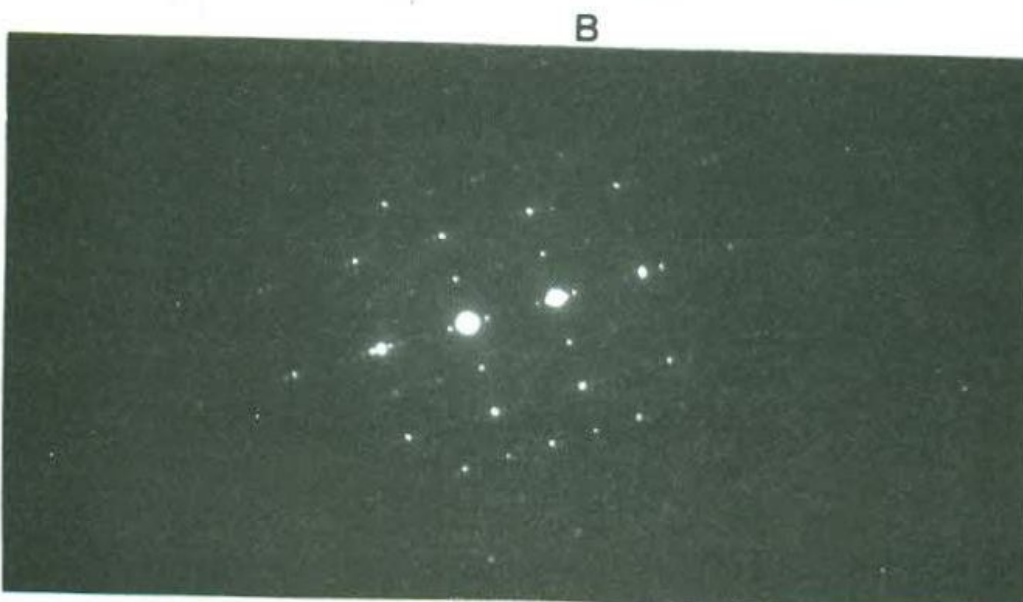
  

|   |              | AT%       |             |
|---|--------------|-----------|-------------|
|   | (عنصر) ELEM  | INT (شدت) | (عنصر) ELEM |
|   | SrL $\alpha$ | 40.488    | 24.149      |
| C | CaK $\alpha$ | 50.308    | 19.870      |
|   | CuK $\alpha$ | 103.265   | 35.820      |
|   | BiM $\alpha$ | 39.978    | 20.160      |

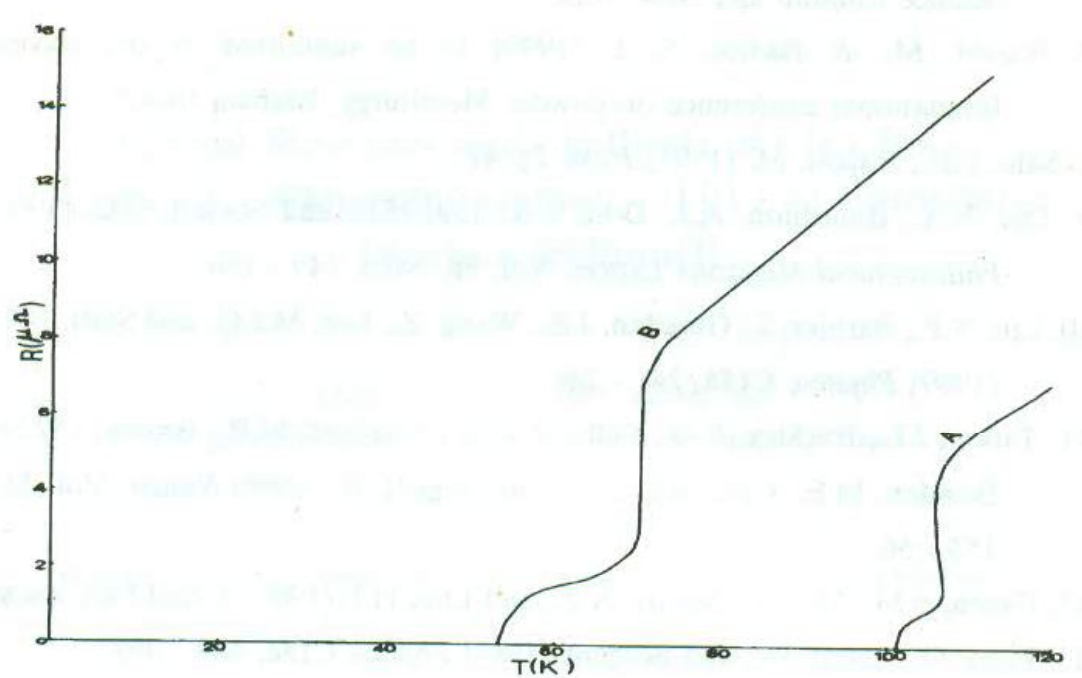
شکل ۳: TEM نواحی مرزدانه‌ها در نمونه ابررسانای (2223) BSCCO (D ~ 4.1g/cm<sup>3</sup>) و آنالیز EDAX ناحیه C و مرز دانه‌ها (A و B)



| ELEM (عنصر)  | EDAX data (شدت) INT | AT% ELEM (عنصر) |
|--------------|---------------------|-----------------|
| SrL $\alpha$ | 91.129              | 28.462          |
| CaK $\alpha$ | 69.049              | 14.447          |
| CuK $\alpha$ | 130.239             | 23.914          |
| BiM $\alpha$ | 124.359             | 33.177          |



شکل ۴: مواد ابررسانای BSCCO (2223) که در محیط اکسیژن تف جوشی و به سرعت سرد شدند و B - نقش پراش الکترونی آن در راستای [100] ( $D \sim 3.92 \text{ g/cm}^3$ ). (D ~ 3.92 g/cm<sup>3</sup>).



شکل ۵: رابطه میان مقاومت و دما در نمونه‌های تف جوشی شده در ۸۶۰۰C  
 A - یک ساعت در هوا و سپس به سرعت سرد کردن در هوا  
 B - یک ساعت در اکسیژن و سپس به سرعت سرد کردن در اکسیژن

### مراجع

1. Maeda, H., Tanaka, Y., Fukutomi, M. and Asano, T. (1988) *Jap. J. Appl. Phys.* Vol. **27**, No.2, P209 - 210, .
2. Michel, C., Hervieu, M., Borel, M., Grandin, A., Oeslandes, F., Provost, J. and Raveau, B. (1987) *Z.Phys.* **B68**, 421.
3. Dou, S.X., Liu, H.K., Bourdillon, A.J., Tan, N.X., Savvides, N., Zhou, J.P., and Sorrell, C.C., (1988) *Supercond.Sci. Technol.* ,**1**, 78 - 82 .
4. Kroeger, D.M., Choudhury, A., Brynestad, J., Williams, P.K., Padgett, R.A., and Coghlan, W.A. (1988) *J.Appl. Phys.* Vol.**64**, No.1, 1331 - 32 .
5. Mahloojchi, F., Sale F.R.(1988) *Brit. Proc.* **40**.
6. Rajabi, M., Sale, F.R. (1989) *Proc. First.Euro. Ceram. Soc. Conf.* [(18 - 23). 6. 89] in Maastricht, the Netherland, in "EURO - CERAMIC" Vol. **2**, Eds.,de with, G., Terpstra, R.A. and Metselaar, R., Elsevier Applied

- Science London and New York .
7. Rajabi, M., & Badiee, S. J. (1999) to be submitted at the second International conference on powder Metallurgy, Isfahan, IRAN.
  8. Sale, F.R., Rajabi, M. (1993) *JOM*, Pp 41.
  9. Tan, N.X., Bourdilon, A.J., Dou, S.X., Liu, H.K. and Sorrell, C.C. (1988) *Philosophical Magazine Letters*, Vol. 58, No.3, 149 - 156 .
  10. Lin, Y.P., Barbier, J., Greedan, J.E., Wang, Z., Lee, M.J.G. and Statt, B.W. (1989) *Physica*, C158, 241 - 246.
  11. Tallon, J.L., Buckley, R.G., Gilberd, P.W., Presland, M.R., Brown, I.W.M., Bowden, M.E., Christian, L.A., and Goguel, R. (1988) *Nature*, Vol. 333, 153 - 56.
  12. Green, S.M., Mei, Y., Manzi, A.E., and Luo, H.L.(1989) *J.Appl.Phys.* 66(8).
  13. Pena, O., Perrin, A., and Sergent (1988) *Physica* C156, 489 - 493.